

ОПРЕДЕЛЯНЕ И ГЕНЕРИРАНЕ НА ГРАВИМЕТРИЧНИ АНОМАЛИИ В РАЙОНА НА ГР. ЗЛАТОГРАД

Славейко Господинов, Александър Постоловски, Боримира Хаджиева, Марко Марков
sgospodinov@mail.bg, aleksandar.postolovski@gmail.com, borimirah@gmail.com,
markomarkov8@abv.bg

Университет по архитектура, строителство и геодезия, София, България

OBSERVATION AND GENERATION ON GRAVITY ANOMALY IN THE AREA OF ZLATOGRAD

Slaveyko Gospodinov, Aleksandar Postolovski, Borimira Hadzhieva, Marko Markov
University of Architecture, Civil Eng. and Geodesy, Sofia, Bulgaria

ABSTRACT

An application of a particular decision of the opposite gravimetric problem for establishing an availability of anomalous masses in depth is shown. The entire realization of simultaneous gravimetric and GNSS measurements on a territory of 51 km² is described. Schemes, illustrating the final results of the investigations are presented.

Keywords: Gravimetry, GNSS measurements, gravity anomalies, anomalous masses

1. Въведение

Целта на проекта е извършване на гравиметрични и съпътстващите ги ГНСС-измервания и анализ на получените резултати за идентифициране на аномално гравитационно поле и възможностите за наличие на подпочвени води [4].

Крайната цел на проекта е идентифициране на потенциални зони за откриване на подпочвени води и използването на систематично събираните данни за основа на по-нататъшни геофизични и геоложки проучвания, които да допринесат за по-доброто разбиране на подземните структури в района на изследвания обект и ефикасно управление на водните ресурси.

2. Изследван обект

Изследваният обект представлява територия в района на Златоград, края на източните Родопи, с приблизителна площ от 51km² (Фигура №1). Релефът е планински, като се редуват стръмни склонове и малки долини със силно развита хидрографска мрежа.



Фигура № 1. Изследван обект

3. Планиране и реализация на измерванията

Първо са набавени всички необходими изходни данни, след което е направено проучване на района, определен за територия на изследване, с цел адекватна организация на измерванията. Регистрирана е проверка на пътищата, теренните условия, силата и качеството на GSM сигнала, както и друга информация, необходима за осигуряване на успешното изпълнение на задачата.

Съставен е подробен предварителен план за реализация на отделните дейности по време на изпълнението на задачата. Направена е проверка на инструментите които ще бъдат използвани, както и е съставен график за работа, който определя последователността на операциите и разпределението на задачите между членовете на екипа (Фигура №2).



Фигура № 2. Планиране и реализация на измерванията

3.1. Гравиметрични измервания

Извършени са релативни гравиметрични измервания за определяне на стойностите на силата на тежестта в 260 гравиметрични точки в района на гр. Златоград. Използван е релативен гравиметър La Coste & Romberg Model G 1095 с точност на единично измервания $40 \mu\text{Gal}$.

Точките са измерени по предварително избрана схема „прост гравиметричен рейс“, позволявайки надеждно отчитане на „дрейфа“ на нулата на гравиметъра [2,6]. Гравиметричните измерванията са извършени в 46 гравиметрични рейса. За изходна точка при измерванията е използвана ГТ088А, находяща се в близост до чешма „Васильова вода“, която е привързана към точка ГТ00088 от ДГрМ в гр. Кърджали. За изходна стойност на силата на тежестта е използвана стойността при ГТ00088 (Кърджали) в система IGSN1971.



Фигура № 3. Гравиметрични измервания

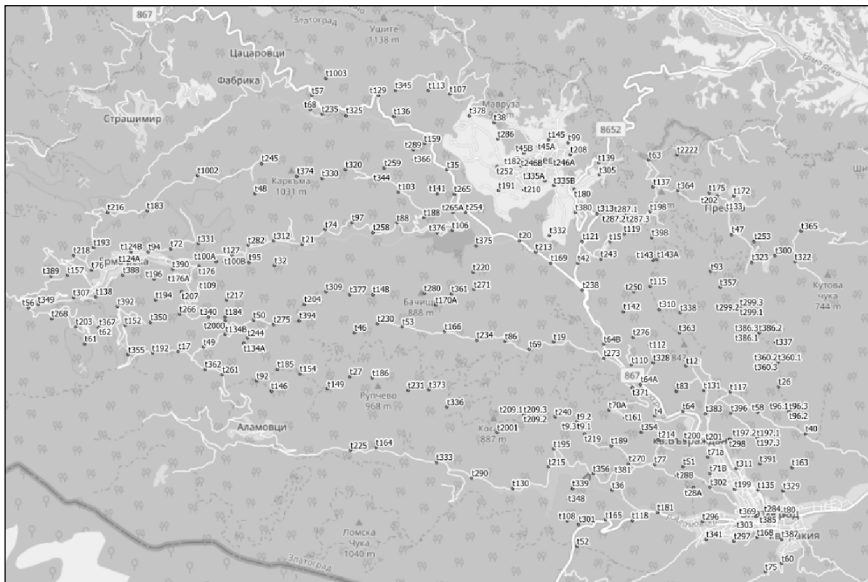
3.2. GNSS измервания

За определяне на координатите и най-вече за наделипсоидните височини на подробните точки са извършени ГНСС измервания [7,8]. Те са реализирани с двучестотен GNSS-приемник STONEX "900A" (Фигура №4). Приложен е кинематичен метод, в реално време (RTK). Използвана е виртуална референтна станция (VRS), с данни от инфраструктурната мрежа. Извършени са измервания при всяка от гравиметричните точки.

Координатите на подробните точки са определени в координатна система БГС 2005 – кадастрална.



Фигура № 4. ГНСС измервания



Фигура № 5. Измерени точки

4. Обработка на измерванията

При обработката на данните, както и при всички други етапи от изследването, е спазена строго определена последователност на действията. Представена е схематично на Фигура № 6, където ясно са обозначени основните стъпки и техните взаимоотношения. Схемата отразява логиката на процеса, като подчертава важността на всяка стъпка и нейната роля за да се гарантира точността и надеждността на крайните резултати.



Фигура № 6. Схематично представяне на плана за обработка на данните от измерванията

4.1. Обработка на гравиметричните рейсове

Получените гравиметрични рейсове от полските измервания са обработени, следвайки всички нормативни изисквания. Обработката включва следните етапи [1,3] :

- Калибриране на отчета от гравиметъра и превръщането му в отчет в mGal;
- Нанасяне на приливна корекция;
- Получаване на коригирана стойност на отчета като сума от приведения отчет в mGal и приливна корекция;
- Нанасяне на корекция заради дрейфа на нулата и получаване на крайни отчети;
- Изчисляване на гравиметричните разлики между реперите като разлика между крайните отчети;
- Изчисляване на стойности на силата на тежестта в новоопределяните гравиметрични точки

За превръщането на отчетите от инструментални мерни единици към милигали е използвана калибрационна таблица, създадена за конкретния модел гравиметър. Прехода е осъществен посредством формула:

$$S^{mGal} = (S^{ie} - S_0)K_0 + C_0 \quad (1)$$

Където: S^{ie} – отчета на инструмента;

S_0 – кръгла стойност на най-близкия отчет;

K_0 – умножителен калибрационен коефициент;

C_0 – събирателна стойност.

Към гравиметричните измервания са нанесени приливни корекции.

Отместването на нулата на гравиметъра е изчислено по формула:

$$U = \left(\frac{o_i'' - o_i'}{t_i'' - t_i'} \right) \quad (2)$$

Където: $O_i'' - O_i'$ - повторни отчети за конкретни точки;

$t_i'' - t_i'$ - време на направените отчети.

Корекцията за „дрейфа“ на нулата е нанесена, след като всички останали корекции са добавени към отчетите [10]. Изчислява се коригирания (окончателен) отчет, след нанасянето на приливната корекция и отместването на „нул-пункта“.

Гравиметричните разлики за точките от гравиметричната мрежа са изчислени по формула (3), като са използвани окончателните отчети, а посредством формула (4) са получени стойностите на силата на тежестта на подробните точки.

$$\Delta g_{ab} = O_b^\Phi - O_a^\Phi \quad (3)$$

$$g_p = g_a + \Delta g_{ab} \quad (4)$$

4.2. Изчисление на аномалии „свободен въздух“

Получените стойности на силата на тежестта в точките са използвани за изчислението на чисти аномалии в точките [6]:

$$\delta g = g_p - \gamma_p, \quad (5)$$

където g_p е стойност на силата на тежестта в точката, а γ_p стойност на нормалната сила на тежестта в точката. Нормалната сила на тежестта е изчислена като:

$$\gamma_p = \gamma_0 - \left(\frac{\partial \gamma}{\partial H} \right) H, \quad (6)$$

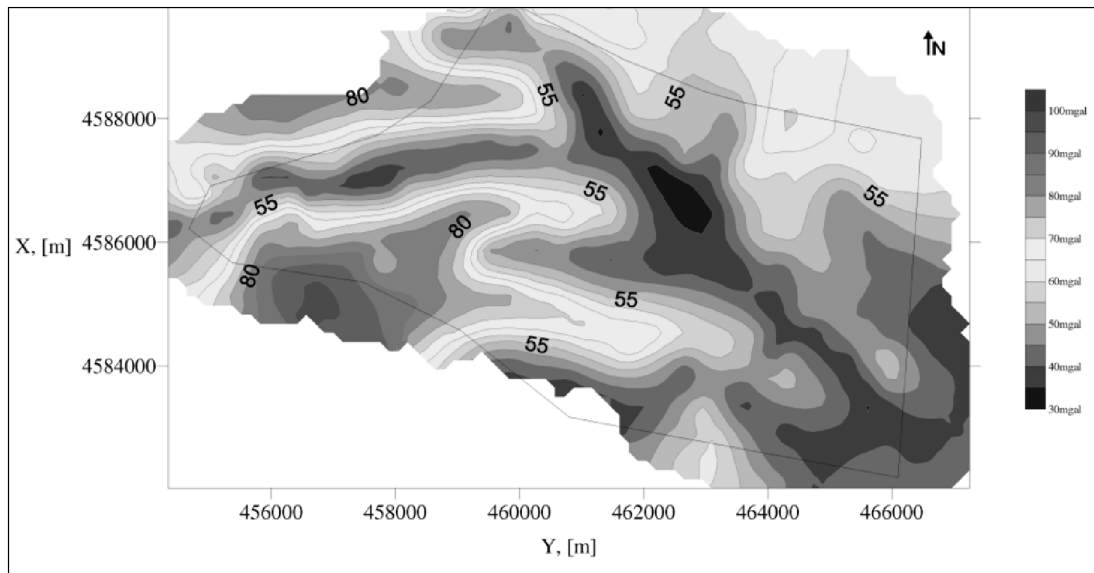
където:

H е геодезическа (наделипсоидна) височина

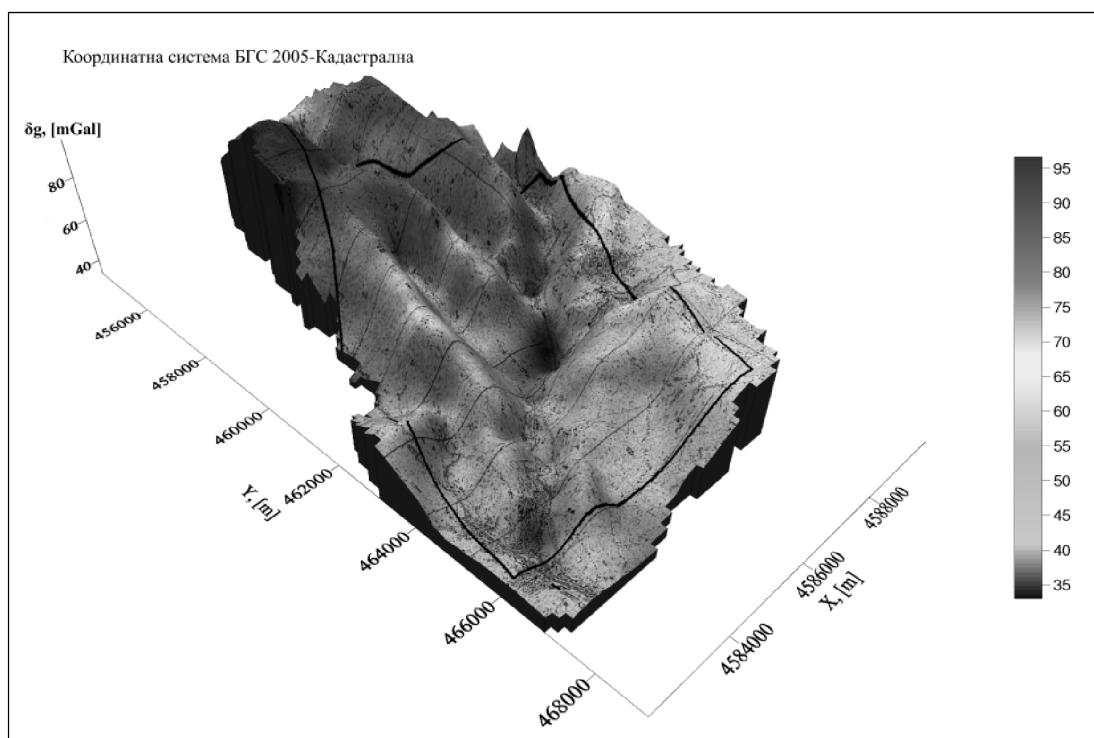
$\left(\frac{\partial \gamma}{\partial H} \right) = -0.3086$ е вертикален градиент на нормалната сила на тежестта

$\gamma_0 = 9.780327(1 + 0.0053024 \sin^2 B - 0.0000058 \sin^2 2B) \text{ m/s}^2$

Геодезическите географски координати и геодезически височини на точките са получени от извършените ГНСС измервания при всяка една от гравиметричните точки.



Фигура № 7. Геореферирана 2D – повърхнина на аномалиите на “свободен въздух” в района на гр. Златоград



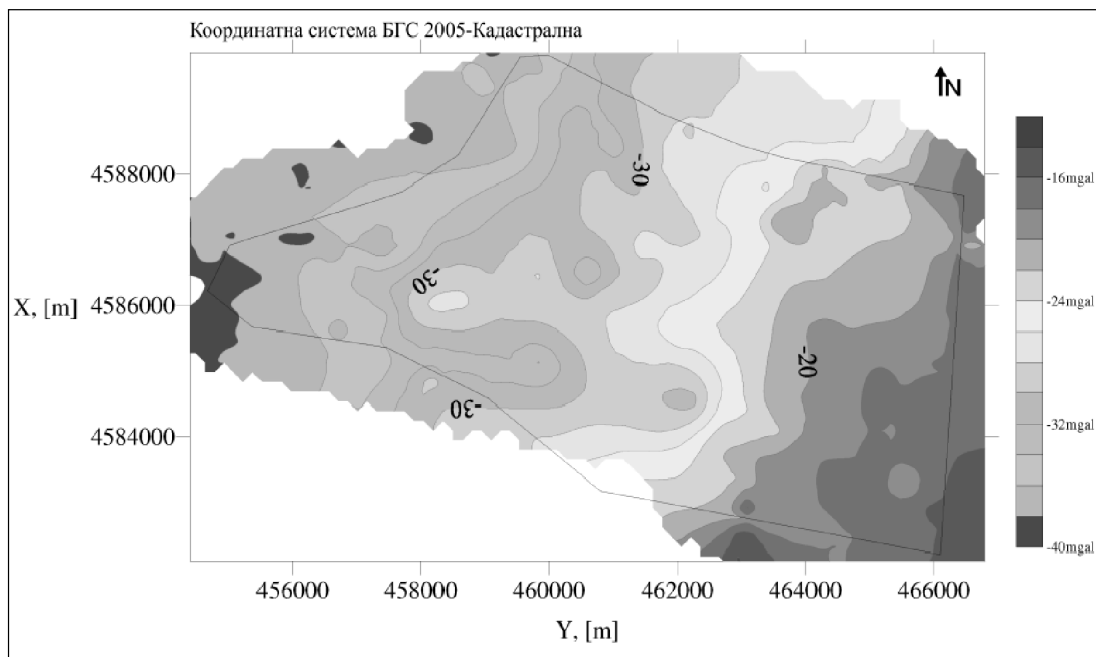
Фигура № 8. Геореферирана 3D – повърхнина на аномалиите на “свободен въздух” в района на гр. Златоград

4.3. Изчисление на аномалии „Буге“

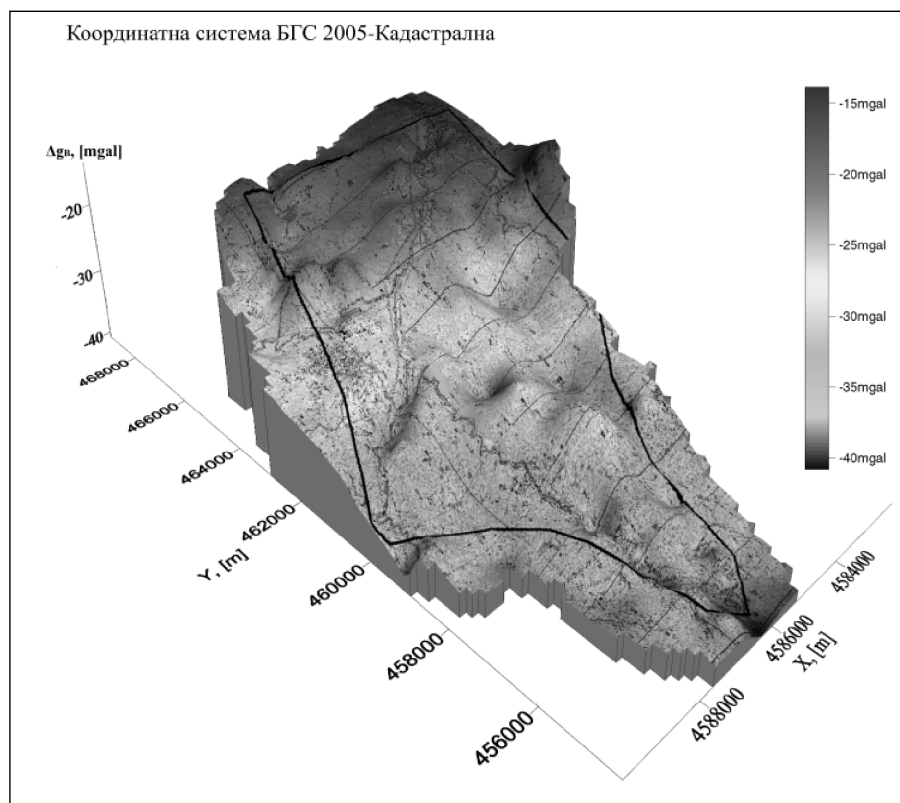
Изчислените аномалии „свободен въздух“ са редуцирани с редукцията „Буге“:

$$\delta g_B = -0.1119H \quad (7)$$

За средна плътност е използвана приетата стойност 2.67 g/cm³.



Фигура № 9. Геореферирана 2D – повърхнина на аномалии на "Буге" в района на гр. Златоград



Фигура № 10. Геореферирана 3D – повърхнина на аномалии на "Буге" в района на гр. Златоград

5. Анализ на резултатите от изследванията. Изводи

Въз основа на направените измервания и тяхната последваща обработка се стига до извода, че релативните гравиметрични измервания в комбинация с ГНСС-определения са надежден източник на



емпирични данни, които подпомагат локализирането на аномални маси, разположени под физическата земна повърхност.

Процесът на изследване, базиран на резултатите от релативни гравиметрични измервания в комбинация със съпътстващи ГНСС технологии, трябва да протича в два стадия. В първия стадий възможните аномални зони на територията да се локализируют „грубо“ (в планово отношение), за да се планират и осъществят допълнителни измервания с по-голяма гъстота на гравиметрични станции. Така би се създавала една добра основа за следващи проучвания (геоложки и геофизични).

На местата, където бъде констатиран контраст между топографската повърхнина на обекта и повърхнината на полето на аномалиите „Буге“, може да се счита, че има наличие на аномални маси в дълбочина.

Дефинирането на полето от разлики между аномалиите „свободен въздух“ и „предполагаемите“ стойности на g позволява изграждането на модел, идентичен с модела на полето на аномалиите „Буге“. Това е основание да се счита, че ако към аномалиите „свободен въздух“ е нанесена корекция с предполагаеми стойности на силата на тежестта, ще се получи поле-носител на аналогична информация за възможно наличие на кухини в дълбочина.

Използвана литература:

- [1]. **Грушунский Н.П., Сажина Н.Б.**, Гравитационная разведка, 1981, Москва, Трето преработено издание, 392 стр.
- [2]. **Джорова С.Н.**, Лекционен курс по „Гравиметрични приложения в геологията и геофизиката“ за спец. „Висша геодезия“, 2023-2024г., УАСГ
- [3]. **Джорова С.Н.**, Интегриран подход при едно часно решение на обратната задача в теорията на потенциала, 2014, София, УАСГ, автореферат, науч.р-л проф. д-р инж Славейко Господинов
- [4]. **Зидаров К.К.**, Обратна гравиметрична задача в геопроучването и геодезията, БАН, 1984, София
- [5]. **Ламбева Т.В.**, Лекционен курс по „Спътникова геодезия“, 2022-2023г., УАСГ
- [6]. **Пенева Е.П.**, Лекционен курс по „Гравиметрия“, 2021-2022г., УАСГ
- [7]. **Цановски Ю.**, ГНСС – Добри геодезически практики, 2023, София
- [8]. **Цановски Ю.**, Лекционен курс по „Кинематични приложения на ГНСС“ за спец. „Висша геодезия“, 2023-2024, УАСГ
- [9]. **Denker H.**, Regional gravity field modeling: Theory and practical results, Monograph in: Sciences of Geodesy – II, Chapter 5: 185-291, Springer Verlag, 2013, Berlin, Heidelberg
- [10]. **Efinger B.**, Gravimetrische Untersuchungen und Einflussmodellierung "Stuttgart 21", Geodatisches Institut in Universität Stuttgart, 2014, Stuttgart

